



Conglomerados, areniscas y lutitas con capas de carbón
(Carbonífero productivo) (BD-2050)



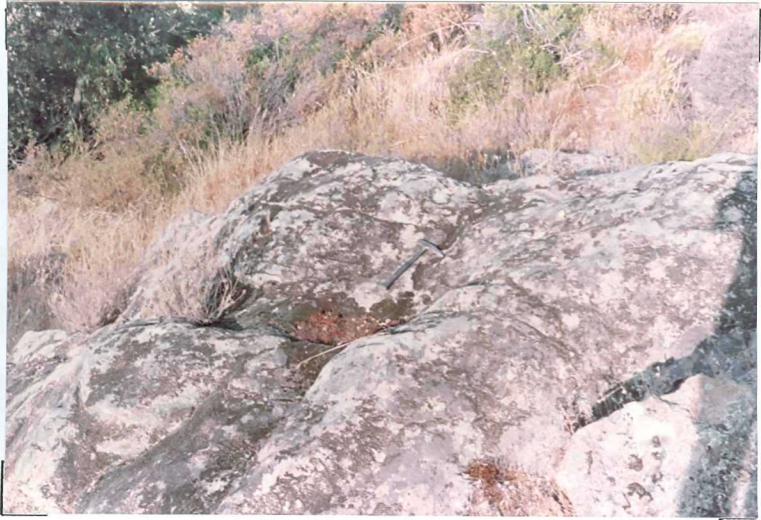
Conglomerados del Carbonífero productivo
(BD-2051)



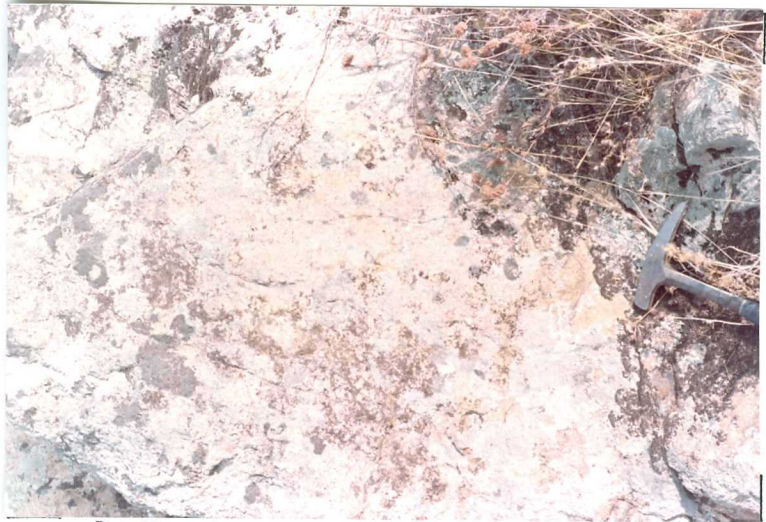
Gabros porfídicos (BD-2052)



Cerro del Alamo, donde aflora el granito del mismo nombre
(BD-2053)



Afloramiento del granito del Alamo (BD-2054)



Detalle del afloramiento anterior del granito del Alamo
(BD-2055)



Pórfidos de Navaserrano (BD-2056)



Volcanitas ácidas de Erillas-Paredón (BD-2057)



Neises y neises miloníticos de Cantarrana (BD-2058)



Idem a la anterior (BD-2059)



Alternancia de materiales lutíticos y arenosos (Culm del Guadiato) (AI-3040)



Idem anterior. Tramos arenoso, y superficie de falla inversa (AI-3041)

Idem anterior. Tramo basal conglomerátilo (AI-3042)





Materiales areniscosos y calizos de la Unidad detrítico-carbonatada. Cuenca Carbonífera del Guadiato (AI-3043)



Filitas de la Form. de Azuaga (Grupo de Sierra Albarrana)
(AI-3044)



Conglomerado basal del Carbonífero detrítico del Eje Magmático de Vv.-LC. (AI-3045)



Materiales pizarrosos del Carbonífero del Eje Magmático de
Vv-LC (AI-3046)



Materiales areniscosos con pasadas lutíticas. Carbonífero en
facies Culm correlacionable con el del Eje Magmático de Vv-
LC. (AI-3047)



Aspecto de detalle de la fotografía anterior (AI-3048)

Materials volcanoclasticos groseros (Epiclasticas de El Orejón). Complejo Volcánico de La Campana. Eje Magmático de Vv.-LC. (AI-3049)





Andesitas del Grupo volcánico de La Campana. Eje Magmático de Vv.-LC. (AI-3050)



Facies común de los gabros del Complejo de Los Ojuelos-La Coronada (AI-3055)



Idem fotografía anterior (AI-3056)



Gabro diorítico o granodiorítico. Complejo Los Ojuelos-La Coronada (AI-3057)



Pequeño dique de gabros de grano fino intruyendo en la facies común del Complejo Los Ojuelos-La Coronada (AI-3058)



Dique de microgabros (AI-3059)



Granodiorita de la Buenagua (AI-3060)



Idem anterior (AI-3061)



Pequeñas masas graníticas asimilables al granito de Peñas Pardas (AI-3062)



Idem anterior (AI-3063)



Aspecto en afloramiento del Granito de Peñas Pardas
(AI-3064)



Granito de Peñas Pardas (AI-3065)



Sucesión de pizarras y grauvacas con intercalaciones de cuar
citas feldespáticas y calizas. Unidad autóctona (AI-3070)



Cuarzoesquistos en sucesión de esquistos y cuarzoesquistos con pasadas de neises y anfibolitas. Unidad alóctona Obejo-Espiel (AI-3071)



Granitoide del Escribano. Unidad alóctona Obejo-Espiel
(AI.3072)



Materiales arcósicos de la Form. Torre Arboles. Unidad
alóctona Obejo-Espiel (AI-3073)



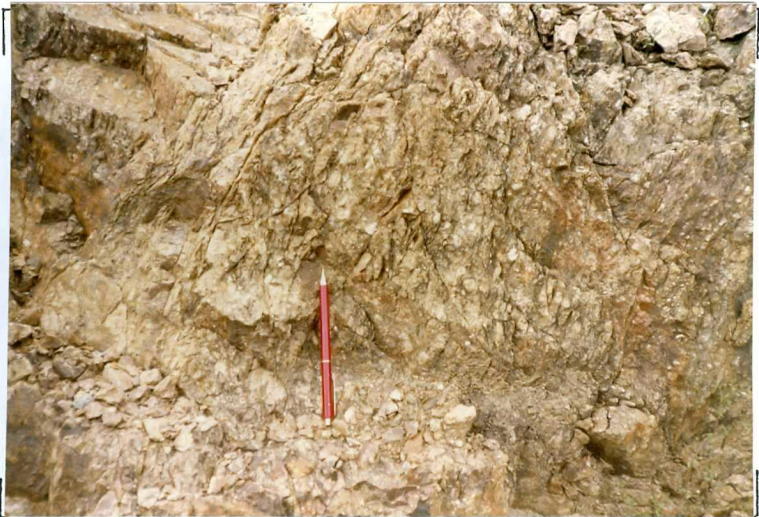
Formación filítico-arenosa con intercalaciones cuarcíticas
Unidad alóctona Obejo-Espiel (AI-3074)



Idem anterior. Tramo mas cuarcítico (AI-3075)



Neises mocovíticos en sucesión neísica (Neises de Azuaga)
(Materiales del Grupo de Córdoba-Fuente Obejuna) (AI-3080)



Idem anterior. Aspecto de detalle. Observar tectonización muy acusada (AI-3081)



Sucesión de esquistos y cuarzoesquistos con intercalaciones de cuarcitas negras (Grupo de Córdoba-Fuente Obejuna) (AI-3082)



Idem anterior. Nivel de cuarcitas negras (AI-3083)

Idem anterior. Nivel de paraneises observar diferenciado
pegmatoide (AI-3085)





Sucesión de micaesquistos y cuazoesquistos. (Grupo de Sierra Albarrana) (AI-3086)



Sucesión de cuarzoesquistos, micaesquistos y cuarcitas de la Loma del Parralejo (Grupo de Sierra Albarrana) (AI-3087)



Sucesión de cuarcitas feldespáticas. Grupo de Sierra Albarraña (AI-3088)



Idem anterior, foto de detalle (AI-3089)



Materiales volcano-sedimentarios de la Form. Malcycinado
(AI-3090)



Aspecto en afloramiento de las volcanitas básicas (andesitas) de la Form. Malcocinado (AI-3091)



Idem anterior. Aspecto de detalle (AI-3092)



Volcanitas ácidas (riolitas) en Form. Malcycinado (AI-3093)



Idem anterior. Aspecto de detalle (AI-3094)



Andesitas moradas (Andesitas de Córdoba) (AI-3095)



Materiales arcósicos de la Form. Torre Arboles (AI-3096)



Materiales detriticos en la base de la Form. Pedroche
(AI-3097)